

Studi Geokimia Fluida
Panasbumi Daerah Prospek
Panasbumi Nglimut, G. Ungaran
Kecamatan Limbangan,
Kabupaten Kendal Jawa Tengah
by Yoga Ariwibowo

Submission date: 18-Sep-2019 11:42AM (UTC+0700)

Submission ID: 1174942693

File name: document_c4.pdf (877.89K)

Word count: 2275

Character count: 13308

Yohanes Brahma Emianto *), Yoga Aribowo **)

Abstract

Fluid geochemistry is a useful method to analyse lateral and vertical processes and trends in a geothermal system, just like a blood and urine analysis to determine the functions of internal organs in human body. Fluids geochemistry study in Nglimut Geothermal Prospect has conducted to get information about type and characteristics of fluids, to predict reservoir temperature, and sub surface hidrogeochemical cycle model. From fluids geochemistry analysis, the most significant constituent is HCO₃, and thus all fluids classified into bicarbonate water. Based on gethermometry analysis, the average reservoir temperature calculated is about 206°C and classified into high enthalpy system.

Key words: geothermometry, reservoir temperature, high enthalpy

Pendahuluan

Gunung Ungaran merupakan daerah prospek panasbumi yang ditunjukkan oleh manifestasi panasbumi yang muncul di permukaan berupa fumarol, kolam air panas dan batuan alterasi. Salah satu manifestasi panasbumi pada Gunung Ungaran terdapat di Nglimut berupa mataair panas.

Analisis geokimia fluida sangat berperan dalam interpretasi karakteristik panasbumi bawah permukaan. Berdasarkan hasil analisis geokimia fluida, dapat diperkirakan tipe air, kedudukan manifestasi dalam sistem panasbumi, serta suhu reservoir.

13

Maksud dan Tujuan

Maksud dari penelitian ini adalah untuk menganalisis kimia fluida yang terdapat pada manifestasi kolam air panas. Sedangkan tujuan dari penelitian ini antara lain:

1. Mengetahui tipe fluida manifestasi
2. Memprediksi suhu reservoir
3. Mendapatkan gambaran seting geologi dan hidrogeokimia dari sistem panasbumi setempat

Tipe Fluida Panasbumi dan Karakteristiknya

Air Klorida (*Chloride Water*)

Jenis air ini merupakan tipe fluida panasbumi yang ditemukan pada kebanyakan area dengan sistem temperatur tinggi. Area yang memiliki mataair panas yang mengalir dalam skala besar dengan konsentrasi Cl yang tinggi berasal dari reservoir dalam, dan merupakan indikasi dari zona permeabel pada area tersebut. Namun demikian, area ini dapat saja tidak terletak di atas zona *upflow* utama, karena ada beberapa kemungkinan lain seperti pengaruh topografi yang juga dapat memberikan dampak besar dalam mengontrol hidrologi. Mataair klorida juga dapat mengidentifikasi daerah permeabel zona tinggi (contoh: patahan, erupsi breksi atau konduit).

Pada air klorida, anion yang dominan adalah Cl dan biasanya memiliki konsentrasi ribuan sampai 10.000 mg/kg, dan pada air asin kandungan atau konsentrasi Cl dapat mencapai 100.000 mg/k (contoh: Laut Salton, USA). Pada beberapa daerah juga memiliki konsentrasi Cl yang besar dikarenakan air klorida pada daerah tersebut sudah bercampur dengan air laut.

Beberapa unsur utama lain dalam air klorida ini adalah sodium dan potassium dengan rasio perbandingan 10:1. Sebagai kationnya adalah unsur silika (dimana konsentrasinya bertambah seiring meningkatnya kedalaman) dan boron. Sulfat dan kandungan klorida sangat bervariasi. Karbondioksida dan beberapa macam gas hidrogen tingkat rendah adalah kandungan gas utamanya. Pada area dengan kandungan gas yang tinggi, fluida klorida memiliki kandungan bikarbonat dalam jumlah besar dan pendidihan pada kedalaman yang lebih. Walaupun memiliki kandungan bikarbonat yang tinggi, namun keberadaan ion klorida tetap mencegah atau dapat menjadi indikator dalam membedakan air klorida dan air bikarbonat, atau air klorida-bikarbonat.

Air Sulfat (*Sulphate Water*)

Jenis air panasbumi ini dikenal juga dengan Air Asam Sulfat (*Acid-Sulphate Water*), merupakan fluida yang terbentuk pada kedalaman dangkal dan terbentuk sebagai akibat dari proses kondensasi gas panasbumi yang menuju dekat permukaan. Gas panasbumi, dengan kandungan gas dan volatilitasnya, pada dasarnya larut dalam kandungan fluida yang terletak pada zona yang dalam tetapi terpisah dari air klorida.

Air sulfat biasanya ditemukan pada batas daerah dan berjarak tidak jauh dari area *upflow* utama. Jika dilihat dari topografi, maka lokasi pastinya terletak jauh di atas *water table* dan di sekeliling *boiling zone*, walaupun kebanyakan juga sering ditemukan di dekat permukaan (pada kedalaman <100 m). Air sulfat dapat mengalir melewati patahan (*fault*) menuju sistem panasbumi. Pada lokasi inilah, air sulfat dipanaskan, kemudian ambil bagian dalam alterasi batuan dan bercampur dengan air klorida.

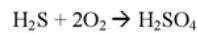
*) Alumni Jurusan Teknik Geologi FT Undip

**) Staf Pengajar Jurusan T.Geologi FT Undip

Fluida jenis ini dapat terbentuk oleh dua proses, yaitu:

1. Steam Heated Acid Sulphate Water

Fluida ini terbentuk ketika uap berkondensasi pada air permukaan. Sulfat terbentuk akibat oksidasi H₂S pada zona vados (zona bawah permukaan di atas muka airtanah). Persamaan reaksi dari proses pembentukan air asam sulfat yang berasal dari uap adalah sebagai berikut:

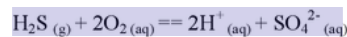


Terbentuknya *steam heated acid sulphate water* berkaitan dengan proses pendidihan/*boiling chloride water* di reservoir pada temperatur < 300°C. Karena tidak bersifat volatil pada temperatur < 300°C, maka *steam heated acid sulphate water* hanya mengandung sangat sedikit Cl⁻. Fluida ini terbentuk pada tempat yang paling dangkal dari sistem panasbumi sehingga tidak dapat digunakan sebagai indikator keadaan reservoir.

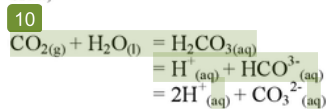
2. Magmatic Acid Sulphate Water

Fluida ini berasal dari air magmatik yang mengandung gas volatil yang mudah menguap, sehingga H₂O, CO₂, SO₂ dan HCl berkondensasi menjadi fasa cair pada suhu > 800°C dan terbentuk di sekitar magma (kurang lebih kedalaman 1 hingga 1,5 km).

Pada air sulfat ini, SO₄ berperan sebagai anion utama dan terbentuk akibat proses oksidasi dari kondensasi hidrogensulfida. Adapun persamaan reaksi yang terjadi adalah sebagai berikut:



Reaksi berikut dan kondensasi dari karbondioksida,



Menghasilkan proton dan membentuk air yang sifatnya asam. Peristiwa oksidasi sulfida menjadi ion sulfat menghasilkan pH minimum yaitu 2,8. Apabila air sulfat memiliki kandungan pH lebih rendah dari 2,8 (pH < 2,0), maka gas magmatik berperan besar dalam proses tersebut. Pada sisa-sisa proses oksidasi biasanya dijumpai klorida. Bikarbonat biasanya tidak ada sama sekali dan walaupun ada akan dijumpai dalam konsentrasi yang sangat kecil sekali, karena pada air yang sangat asam, kandungan karbonat biasanya akan hilang dalam larutan dan berubah menjadi karbondioksida. Pada reaksi yang berlangsung dekat dengan permukaan antara air asam dan batuan-batuan di sekelilingnya, dapat melepaskan silika dan kation logam (Na, K, Mg, Ca, Al, Fe) yang dapat memberikan konsentrasi yang tinggi di dalam air.

Air Bikarbonat (*Bicarbonate Water*)

Air tipe ini banyak mengandung CO₂. Jenis tipe fluida ini disebut juga dengan *netral bicarbonate-sulphate waters*, merupakan produk dari proses kondensasi gas dan uap menjadi mataair bawah tanah yang miskin oksigen. Air bikarbonat banyak ditemukan pada area *non-volcanogenic* dengan temperatur yang tinggi.

Dengan pH yang mendekati netral sebagai akibat reaksi dengan batuan lokal (baik pada reservoir dangkal atau selama proses mengalir ke permukaan). Selama reaksi tersebut, proton banyak yang hilang dan menghasilkan air dengan pH mendekati netral dengan bikarbonat dan sodium sebagai parameter utama. Sulfat kebanyakan hadir dengan bermacam-macam jumlah dan kandungan. Klorida memiliki konsentrasi rendah atau tidak ada sama sekali (Mahon, 1980 dalam Nicholson, 1993). Air tipe ini cenderung mudah bereaksi dan sangat korosif (Heinenquist dan Stewart, 1985 dalam Nicholson, 1993).

Hasil Analisis Kimia Fluida

Fluida dari ketiga sumber air panas dianalisis untuk mengetahui unsur kimia yang terkandung didalamnya selanjutnya dapat digunakan untuk perhitungan geotermometer. Hasil dari analisis kimia ketiga sumber air panas tersebut ditunjukkan oleh tabel 1 (APN1 = gonoharjo, APN2 = Medini1, APN3 = Medini2).

Tabel 1. Hasil analisis kimia unsur

Unsur	APN1	APN2	APN3
SiO ₂	140,64	158,82	166,76
Al	0,00	0,00	0,00
Fe	0,00	0,00	0,00
Ca	194,10	200,80	220,70
Mg	82,00	80,90	85,10
Na	146,60	155,00	158,70
K	35,95	37,82	38,03
Li	0,22	0,25	0,26
NH ₃	5,76	9,62	9,62
Cl	253,53	94,51	97,51
SO ₄	0,54	1,03	1,42
HCO ₃	1122,72	1220,70	1387,53
H ₂ S	7,53	8,61	13,45
B	9,84	16,67	15,86
PH lab.	6,95	6,97	6,94
DHL, umhos/cm	1685	1300	1400

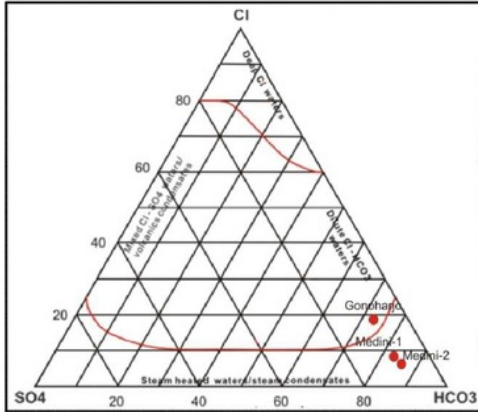
Keterangan: Kecuali pH dan DHL, semua unsur/senyawa dalam satuan mg/L

Tipe air panas

Data kimia yang diperlukan dalam penentuan tipe fluida reservoir adalah kandungan relatif dari klorida (Cl), bikarbonat (HCO_3) dan sulfat (SO_4). Pengolahan data dilakukan dengan menghitung persentase unsur Cl, HCO_3 dan SO_4 (Tabel 2). Kemudian data tersebut diplot dalam diagram segitiga Giggenbach (Gbr 1).

Tabel 2. Persentase Kandungan Cl, SO_4 , HCO_3

Lokasi	Cl (%)	SO_4 (%)	HCO_3 (%)
APN1	18.41457	0.039222	81.5462053
APN2	7.180301	0.078253	92.7414453
APN3	6.559881	0.095529	93.3445905



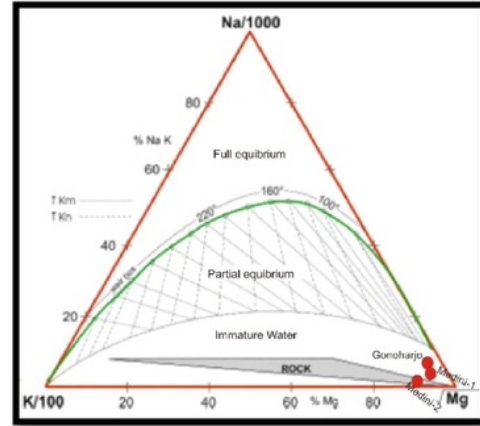
Gambar 1 Diagram ternary kandungan unsur Cl-SO₄-HCO₃ dalam air panas di Nglimut dan sekitarnya

Dari hasil analisis kimia fluida air panas yang terdapat pada daerah penelitian diketahui bahwa jenis fluida panasbumi yang ada pada daerah Nglimut dan sekitarnya merupakan fluida air bikarbonat. Hal ini dikarenakan dari hasil analisis kimia diketahui unsur HCO_3 (bikarbonat) merupakan unsur yang paling dominan.

8

Air bikarbonat dari ketiga kolom air panas termasuk dalam zona *steam heated water/steam condensates*. Proses yang terjadi pada zona ini adalah pemanasan air meteorik oleh sumber panas yang berada di bawahnya, air tersebut menguap dan mengalir kondensasi kemudian muncul ke permukaan dengan kandungan unsur HCO_3 yang dominan.

Diagram segitiga dari $\text{Na}/1000\text{-K}/100\text{-Mg}^{1/2}$ yang ditunjukkan oleh Giggenbach (1988) merupakan sebuah metode yang digunakan untuk pendugaan temperatur reservoir dan untuk mengetahui air yang mencapai keseimbangan dalam litologi. Dari data dan perhitungan persentase kandungan ketiga unsur tersebut, dilakukan pengeplotan pada diagram segitiga $\text{Na}/1000\text{-K}/100\text{-Mg}^{1/2}$ (gambar 2) untuk setiap sampel mataair panas.



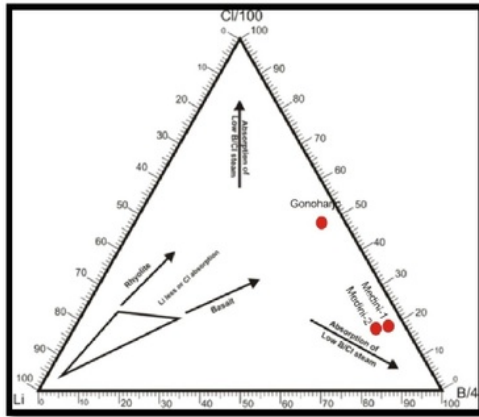
Gambar 2 Diagram ternary kandungan unsur Na, K, Mg dalam air panas di Nglimut dan sekitarnya

Berdasarkan hasil perhitungan kandungan relatif $\text{Na}/1000\text{-K}/100\text{-Mg}^{1/2}$ serta setelah dilakukan pengeplotan hasil nilai pada segitiga Na-K-Mg, mataair panas Gonoharjo, Medini 1, Medini 2 terletak pada *immature water*, memperlihatkan bahwa temperatur manifestasi yang muncul ke permukaan cenderung rendah serta dipengaruhi interaksi antara fluida hidrotermal dengan unsur-unsur seperti silika. Kondisi *immature water* juga menunjukkan bahwa batuan reservoir terletak pada kondisi temperatur dan tekanan yang tinggi dimana sebelum mencapai permukaan juga telah mengalami pengenceran oleh air permukaan (*meteoric water*).

Diagram segitiga Cl-Li-B

Diagram segitiga Cl-Li-B digunakan untuk mengevaluasi proses pendidihan dan pengenceran berdasarkan perbandingan konsentrasi Cl/100, Li, dan B/4 yang telah diubah dalam satuan persen. Dari data dan perhitungan persentase kandungan ketiga unsur tersebut (Tabel 5.5 dan lampiran 4) dilakukan pengeplotan pada diagram segitiga Cl/100 - Li - B/4 (gambar 3) untuk setiap sampel mataair panas.

Posisi ketiga kolom air berada pada bagian kanan segitiga yang berdekatan dengan sisi *Absorption of low B/Cl steam*. Hasil pemplotan data pada Medini-1 dan medini-2 terlihat dominan menuju ke arah sudut B/4 yang menunjukkan proses penyerapan gas magmatik dengan rasio B/Cl tinggi. Hasil pengeplotan data pada Gonoharjo-1 menunjukkan titiknya yang berada pada tengah tenagh sudut Cl dan sudut B/4 yang menunjukkan proses penyerapan gas magmatik dengan rasio B/Cl seimbang.



Gambar 3 Diagram ternary kandungan unsur Cl-Li-B dalam air panas di Nglimut dan sekitarnya

Dari hasil pengeplotan ini dapat diketahui bahwa proses yang terdapat pada daerah penelitian umumnya terjadi pada zona tepi (*outflow*). Hal ini disebabkan konsentrasi Cl kurang dominan sehingga mengindikasikan lokasi penelitian berada cukup jauh dari aliran utama dari sistem panasbumi. Kandungan B/4 pada Medini-1 dan medini-2 lebih dominan dibandingkan Gonoharjo-1 menunjukkan pada lokasi tersebut aktivitas pengenceran lebih dominan yang menyebabkan unsur non volatil Cl menjadi berkurang serta lokasi Medini-1 dan medini-2 terletak lebih jauh dari aliran utama sistem panasbumi dibandingkan lokasi Gonoharjo-1.

Perhitungan Geothermometer Na-K-Ca

Selanjutnya dari analisis kimia tersebut dapat diketahui suhu (T) reservoir. Suhu (T) diketahui berdasarkan perhitungan geothermometer Na-K-Ca. Rumus dari perhitungan geothermometer Na-K-Ca adalah:

$$T^{\circ}\text{C Na-K-Ca} = \frac{1647}{\log \frac{\text{Na}}{\text{K}} + \beta \left[\log \left(\frac{\text{Ca}^{15}}{\text{Na}} \right) + 2,06 \right] + 2,47} - 273$$

Hasil dari perhitungan geothermometer Na-K-Ca ditunjukkan oleh tabel 3

Untuk mengetahui suhu reservoir, digunakan perhitungan geothermometer Na-K-Ca. Digunakannya perhitungan geothermometer Na-K-Ca karena dari hasil analisis unsur diketahui unsur kation Na-K-Ca banyak terkandung dan mendominasi dibandingkan unsur kation yang lain serta dijumpainya endapan travertine.

Hasil dari perhitungan geothermometer Na-K-Ca diketahui bahwa suhu reservoir di Gonoharjo sebesar $207,53^{\circ}\text{C}$, Medini 1 sebesar $208,01^{\circ}\text{C}$, Medini 2 sebesar $206,42^{\circ}\text{C}$ dengan rata-rata suhu keseluruhan sebesar $207,33^{\circ}\text{C}$ sehingga termasuk dalam sistem panasbumi bersuhu sedang (Saptadji, 2004). Hasil

suhu (T) dari perhitungan geothermometer Na-K-Ca bukan merupakan suhu (T) pasti dari reservoir sistem panasbumi di lokasi penelitian, tetapi merupakan suhu kisaran yang nilainya hampir mendekati sama, kemungkinan suhu reservoir yang sesungguhnya bisa lebih tinggi atau lebih rendah dibandingkan suhu dari hasil perhitungan. Hal ini dikarenakan pada fluida panasbumi yang mengalir dekat permukaan, banyak unsur terlarut yang mengendap di permukaan terutama unsur Na-K-Ca, sehingga kandungan kimia yang terkandung pada fluida berbeda-beda kandungannya dengan fluida di reservoir.

Kesimpulan

1. Jenis fluida di gonoharjo berupa campuran air klorida dengan bikarbonat, sedangkan air panas medini berupa air bikarbonat
2. Asal fluida gonoharjo adalah fluida reservoir yang mengalami pencampuran dengan air meteorik, sedang air panas medini merupakan air *steam condensate*
3. Suhu reservoir hasil geothermometer berkisar $206-207^{\circ}\text{C}$
4. Daerah munculnya manifestasi panasbumi nglimut merupakan daerah lateral outflow atau tepi dari sistem panasbumi Gunung Ungaran

Daftar Pustaka

1. Fournier, Robert O. 1989. *Water Geothermometers Applied to Geothermal Energy*. USA: Geological Survey.
2. Giggenbach, WF. 1988. *Chemical Techniques in Geothermal Exploration*. New Zealand: Chemistry Division, DSIR, Private Bag.
3. Hochstein, Manfred P and Patrick R.L. Browne. 2000. *Surface Manifestations of Geothermal Systems with Volcanic Heat Sources* in *Cyclopedia of Volcanoes*. Academic Press.
4. Mahon K, and Ellis, AJ. 1977. *Chemistry and Geothermal System*. Orlando: Academic Press Inc.
5. Marini, Luigi. Tanpa Tahun. *Geochemical Techniques for the Exploration and Exploitation of Geothermal Energy*. Genova - Italy: Dipartimento per lo Studio del Territorio e delle sue risorse, Università degli Studi di Genova.
6. Nicholson, Keith. 1993. *Geothermal Fluids, Chemistry & Exploration Techniques*. Berlin: Springer Verlag, Inc.

Studi Geokimia Fluida Panasbumi Daerah Prospek Panasbumi Nglimut, G. Ungaran Kecamatan Limbangan, Kabupaten Kendal Jawa Tengah

ORIGINALITY REPORT

13%

SIMILARITY INDEX

9%

INTERNET SOURCES

3%

PUBLICATIONS

8%

STUDENT PAPERS

PRIMARY SOURCES

1	Submitted to UIN Sunan Gunung Djati Bandung Student Paper	3%
2	docplayer.info Internet Source	2%
3	documents.mx Internet Source	1%
4	eprints.upnyk.ac.id Internet Source	1%
5	www.jurnal.unsyiah.ac.id Internet Source	1%
6	unsri.portalgaruda.org Internet Source	1%
7	pustaka.geotek.lipi.go.id Internet Source	1%
8	Submitted to Padjadjaran University Student Paper	1%

9	vdocuments.site Internet Source	1%
10	www.uq.edu.au Internet Source	1%
11	repository.unhas.ac.id Internet Source	<1%
12	repo.iain-tulungagung.ac.id Internet Source	<1%
13	repository.unpas.ac.id Internet Source	<1%
14	ir.canterbury.ac.nz Internet Source	<1%

Exclude quotes Off

Exclude matches Off

Exclude bibliography On